



**Informe de Proyecto**  
Sistema de Vehículo Autoguiado (AGV)  
con Control de Tráfico

*Bernardo Aceituno-C, Alejandro Meilan,  
Luis Pérez Bustos, Carlos Luis.*

# Índice

<b>1. Introducción</b>	<b>3</b>
<b>2. Estructura del Proyecto</b>	<b>4</b>
2.1. Objetivo General . . . . .	4
2.2. Objetivos Específicos . . . . .	4
2.3. Etapas . . . . .	4
2.4. Representación General . . . . .	5
<b>3. Hardware</b>	<b>5</b>
3.1. Fuentes de Voltaje . . . . .	5
3.2. Acondicionamiento de las bobinas . . . . .	6
3.3. Driver de los motores . . . . .	9
3.4. Detección de Obstáculos . . . . .	10
3.5. Detección de Señal de Cruce . . . . .	12
3.6. Circuito Seguidor de Línea . . . . .	14
3.7. Circuito Transmisión Infrarroja – Vehículo / Mesón . . . . .	15
3.8. Montaje final . . . . .	15
<b>4. Software</b>	<b>17</b>
4.1. Visión . . . . .	18
4.2. Planificación . . . . .	18
4.3. Comunicación . . . . .	19
4.4. <i>Firmware</i> del Vehículo Autoguiado . . . . .	21
4.5. Consideraciones finales . . . . .	25

# 1. Introducción

El proyecto asociado a la asignatura EC3883 “Laboratorio de Proyectos III” corresponde a un trabajo grupal que engloba diversas áreas de la electrónica como circuitos analógicos, sistemas embebidos, control y comunicaciones.

El proyecto consiste en diseñar un vehículo autónoma con capacidades de seguimientos de una línea eléctrica y con componentes adicionales de seguridad como detección de líneas de paradas, detección de obstáculos y un controlador de alto nivel que le indica una ruta para llegar a un punto deseado.

En este documento se incluye información concisa sobre la primera propuesta inicial así como detalles de la implementación final del proyecto, con diagramas e imágenes para facilitar su entendimiento al igual que evidencia videográfica de su funcionamiento.

## 2. Estructura del Proyecto

Esta sección presenta una visión general del funcionamiento y la implementación del proyecto.

### 2.1. Objetivo General

- Realizar vehículo autoguiado (AGV) por detección de señal electromagnética con algoritmos de planificación de trayectoria y detección de obstáculos a través de una cámara central.

### 2.2. Objetivos Específicos

1. Configurar funcionamiento de los motores con control *PWM* a través del driver L293D.
2. Desarrollar circuito de adquisición y acondicionamiento de señal electromagnética para mantener el vehículo en línea recta.
3. Detectar e implementar lógica de toma de decisiones frente a señales de cruce.
4. Detectar obstáculos que se encuentren a cierto rango de distancia e implementar lógica de toma de decisiones.
5. Diseñar algoritmo que controle los movimientos del vehículo a través de una cámara web para evitar colisiones con obstáculos u otros vehículos que se encuentren simultáneamente en la cuadrilla.
6. Desarrollar protocolo de comunicación infraroja entre el computador y el vehículo.

### 2.3. Etapas

Para detallar el funcionamiento esperado del proyecto a desarrollar se dividió a este en las siguientes etapas.

1. **adquisición y acondicionamiento de señal electromagnética**
2. **control *PWM* de los motores**
3. **detección de señal de cruce**
4. **mapeado de la cuadrilla**
5. **algoritmo de planificación**
6. **protocolo de comunicación**

## 2.4. Representación General

El diagrama de la Figura 1 ilustra el esquema general del proyecto. Se observa el funcionamiento en conjunto de las etapas descritas con anterioridad.

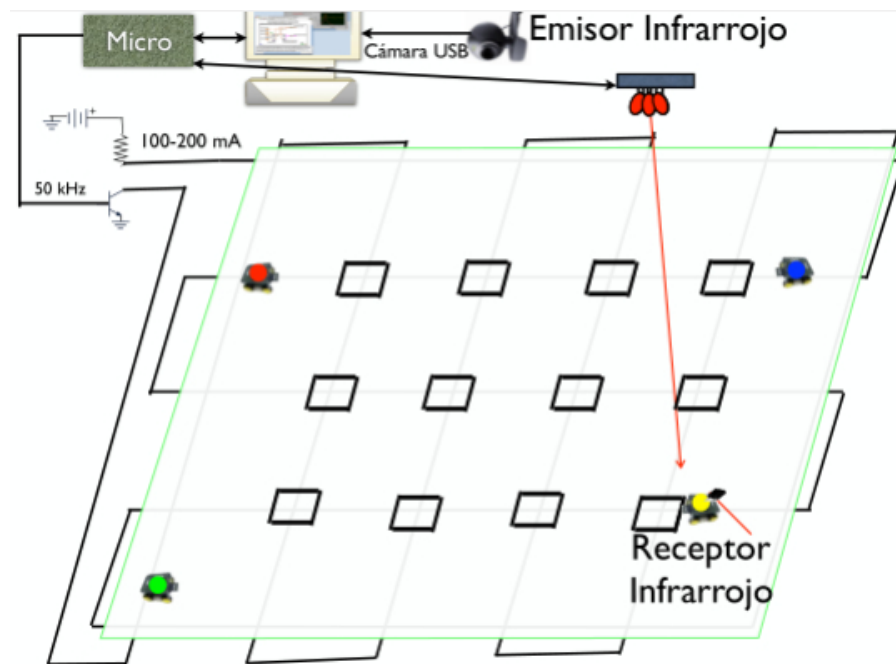


Figura 1: Esquema general del Proyecto

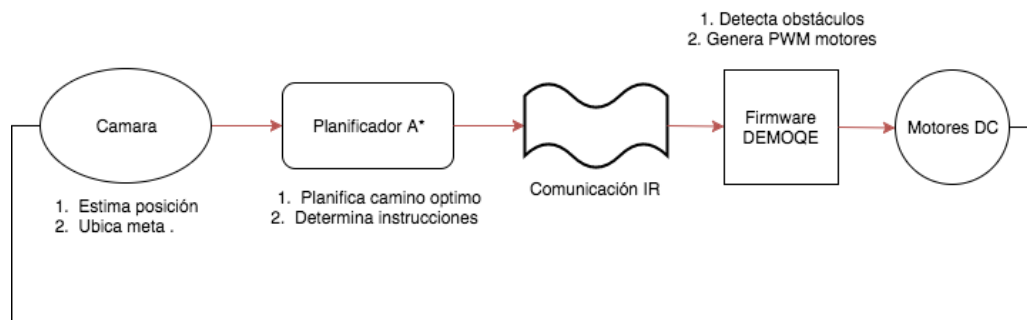


Figura 2: Diagrama de funcionamiento del sistema

## 3. Hardware

A continuación se presentan los circuitos utilizados para el acondicionamiento de señales y alimentación de los sensores y actuadores utilizados.

### 3.1. Fuentes de Voltaje

Se utilizaron dos fuentes de voltaje para el proyecto: una para alimentar los motores DC del vehículo y una para alimentar el resto de los sensores. Ambas fuentes se presentan en la Figura 3

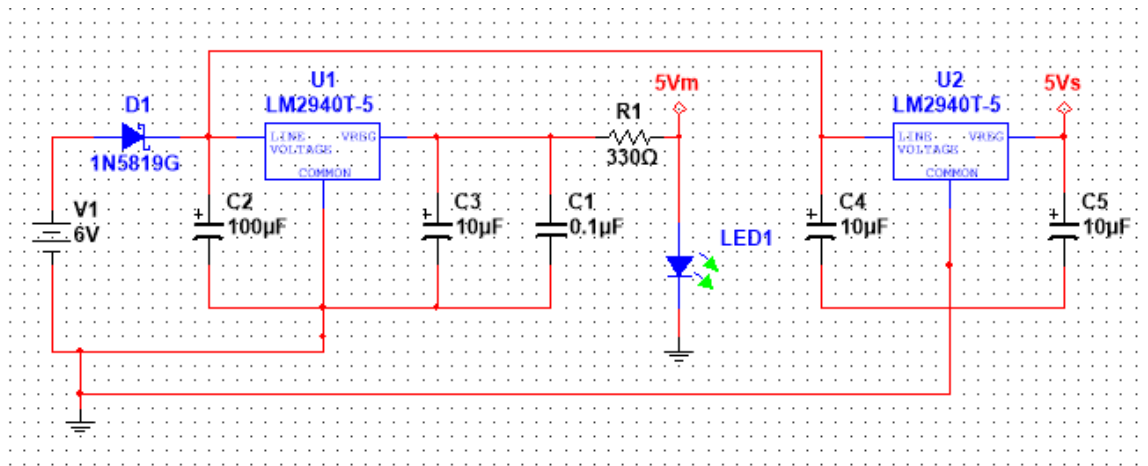


Figura 3: Fuentes de voltaje DC 5V

La señal V5m corresponde a la alimentación de los motores y la señal V5s a la alimentación de los sensores. En ambos casos se utiliza el integrado LM2940-5 que es un regulador de 5V DC. La entrada de 12V proviene del conector DC del mesón, y se utiliza un diodo rectificador Schottky de protección. En ambas fuentes se utilizan capacitores electrolíticos de bypass, y para la fuente del motor se añade también un capacitor cerámico extra para asegurar una alimentación libre de ruido. El LED sirve para verificar en todo momento la correcta alimentación de los motores.

### 3.2. Acondicionamiento de las bobinas

Para este circuito se presentan dos propuestas similares, y a través de simulaciones se determinó cual de ellas era preferible dada la naturaleza del proyecto.

- **Propuesta 1:** el circuito de la Figura 4 es la primera propuesta para acondicionar la señal proveniente de las bobinas.

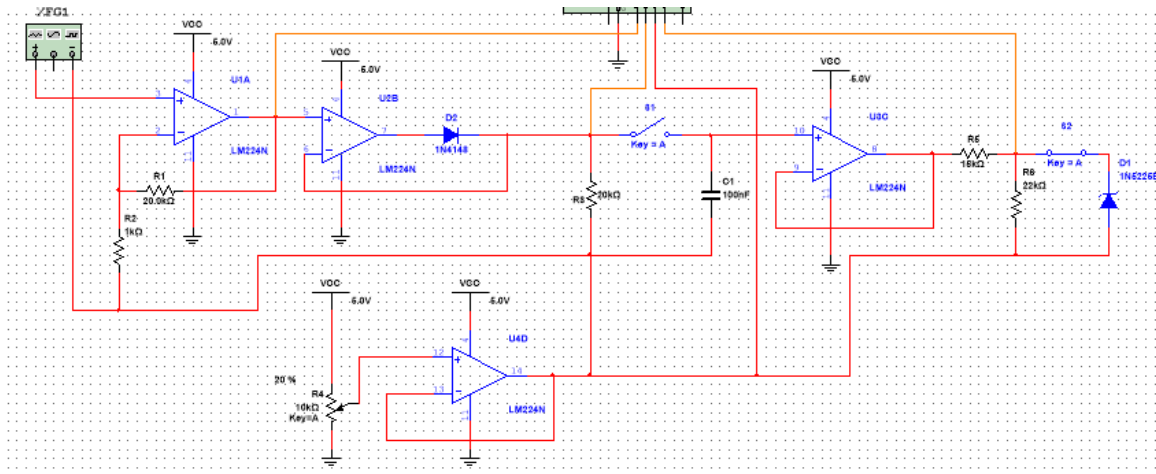


Figura 4: Acondicionamiento de bobinas - Propuesta 1

Del lado izquierdo hay una primera etapa de amplificación de la señal, con una ganancia de 20 y con una tierra virtual implementada con el seguidor de la parte de abajo, cuya salida de voltaje se maneja con el potenciómetro R4. Seguido de esta etapa de amplificación hay un rectificador de media onda utilizando el diodo 1N4148. La tercera etapa de la adquisición es un detector de pico, para el cual se escogió una combinación de resistencia y capacitor en simulación que otorgara una respuesta adecuada. El buffer de la última etapa se coloca para aislar la salida de las impedancias del resto del circuito, ya que esta salida entrará al microcontrolador. Se coloca un divisor de tensión y un diodo Zener de 3V para proteger al microcontrolador. Los valores del divisor de tensión deberán ser ajustados en práctica dependiendo de las salidas máximas y mínimas de las bobinas.

Se simuló el canal de adquisición con una señal sinusoidal de 50KHz y 50mVp que hiciera las veces de la señal de la bobina. Primero se levantó el switch A para observar la señal del rectificador de media onda (CH2), como se presenta en la Figura 5

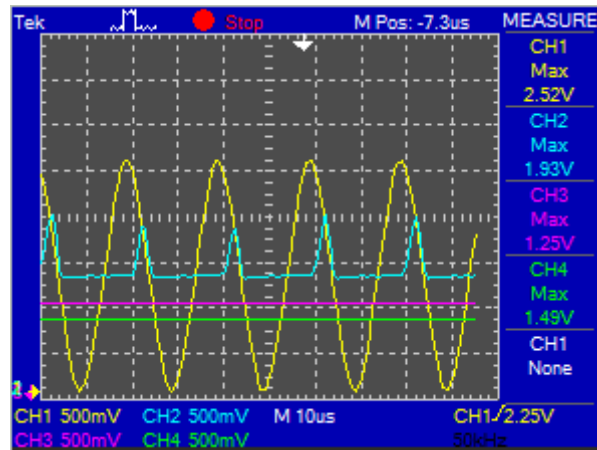


Figura 5: Amplificador (CH1), Rectificador sin detector de pico (CH2), tierra virtual (CH3), salida final (CH4)

Se observa que la rectificación con un solo diodo no es perfecta, principalmente por las frecuencias a las que se está trabajando. Internamente el diodo presenta retardos respecto a la frecuencia de trabajo de las bobinas que impiden que la rectificación sea mejor. Al bajar el switch se observa en la Figura 6 la respuesta del rectificador con detector de picos en el canal 2.

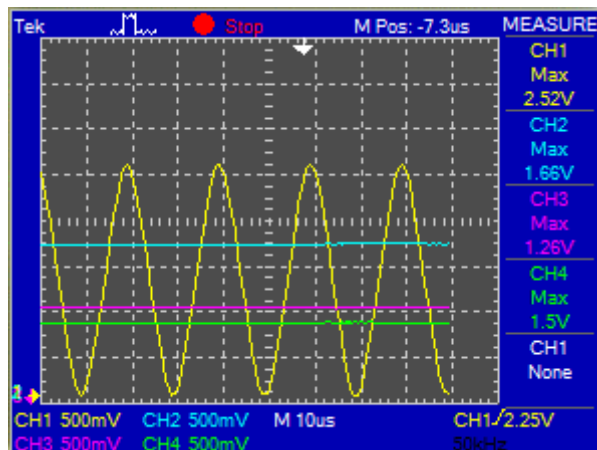


Figura 6: Amplificador (CH1), Rectificador con detector de pico (CH2), tierra virtual (CH3), salida final (CH4)

Utilizando una tierra virtual de 1.25V, se observa que se levanta el nivel DC de la señal amplificada de la bobina y se elimina la componente negativa de la misma. En el canal 2 se muestra la salida del rectificador con detector de pico, que logra un nivel DC de 1.64V. Finalmente, la señal que entrara al microcontrolador es una DC de 1.48V que es proporcional a la intensidad de campo sobre la bobina.

- **Propuesta 2:** la segunda propuesta para el acondicionamiento de las bobinas se muestra en la Figura 7:

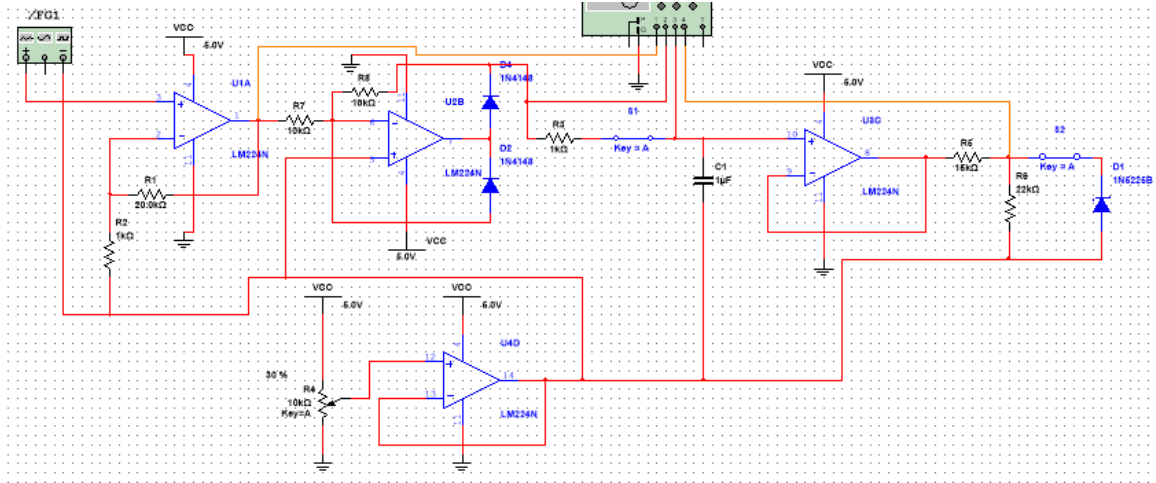


Figura 7: Acondicionamiento de bobinas - Propuesta 2

La diferencia respecto a la primera propuesta es el circuito rectificador, que en este caso se hace con dos diodos y se trata de un rectificador de media onda negativa. Después del rectificador se sustituyó el circuito de detección de picos por un filtro pasabajo con frecuencia de corte  $1/RC = 1000\text{rad/s} = 159,15\text{Hz}$ . Este nuevo circuito de rectificación otorgó mejores resultados que en el caso anterior, como muestra la Figura 8:

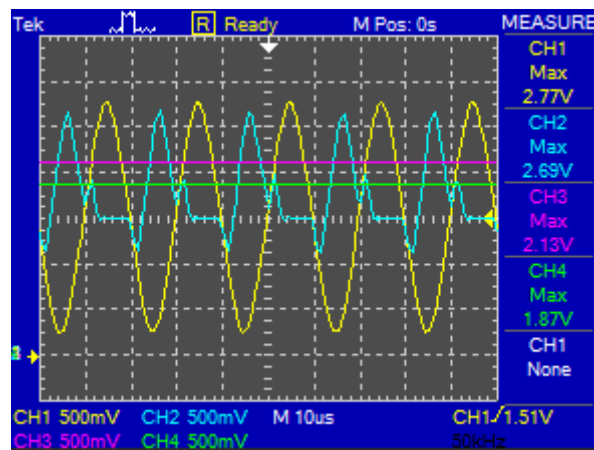


Figura 8: Amplificador (CH1), Rectificador (CH2), Filtro pasabajo (CH3), Salida final (CH4)

La señal del canal 2 muestra la salida del rectificador, que al compararla con la señal obtenida con la primera propuesta se nota que presenta una respuesta más adecuada, con menos retardos en la señal rectificadora. El valor de voltaje de la salida del canal de adquisición es mayor gracias a la rectificación mejorada, por lo que esta propuesta es la que se implementará en el proyecto.

El circuito final implementado es el mostrado en la Figura 9



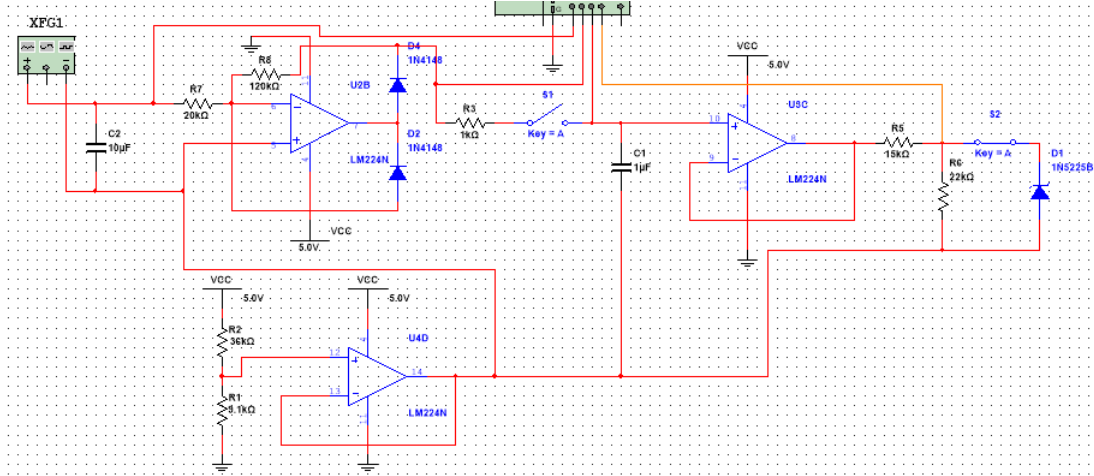


Figura 9: Circuito final para adquisición de señal de bobinas

Los principales cambios introducidos en la versión final es la eliminación de uno de los operacionales para realizar la etapa de rectificación y amplificación con un sólo opamp, además de reducir la ganancia de 20 a 6 para obtener una máxima excursión en la señal DC obtenida a través del circuito de acondicionamiento. Se substituyó el potenciómetro que fijaba la tierra virtual por una combinación de resistencias que dio un offset DC de 1V (usando 9.1k y 36k).

La primera acción al montar el circuito fue determinar la frecuencia de resonancia de las bobinas utilizadas, es decir, la frecuencia en la que la amplitud de la onda sinusoidal era máxima, que resultó ser de 56KHz y fue la frecuencia utilizada para excitar estos sensores (utilizando el cable de la pista). Con este circuito se hicieron mediciones con dos casos especiales: la bobina está lejos de la pista, y la bobina está justo encima de la línea eléctrica. En el primero de los casos la salida del circuito de acondicionamiento era directamente el nivel DC de la tierra virtual del sistema (1V), mientras que al estar encima de la línea el voltaje arrojado por la bobina era el máximo posible que resultó ser de 2.88V. Estos datos fueron importantes a la hora de codificar el firmware de control de los motores pues permitía saber a groso modo en qué punto el carro estaba pasando sobre una de las líneas al realizar un giro.

### 3.3. Driver de los motores

Para controlar los motores se utilizan señales PWM, utilizando el driver de motores L293D, tal como se muestra en la Figura 10:

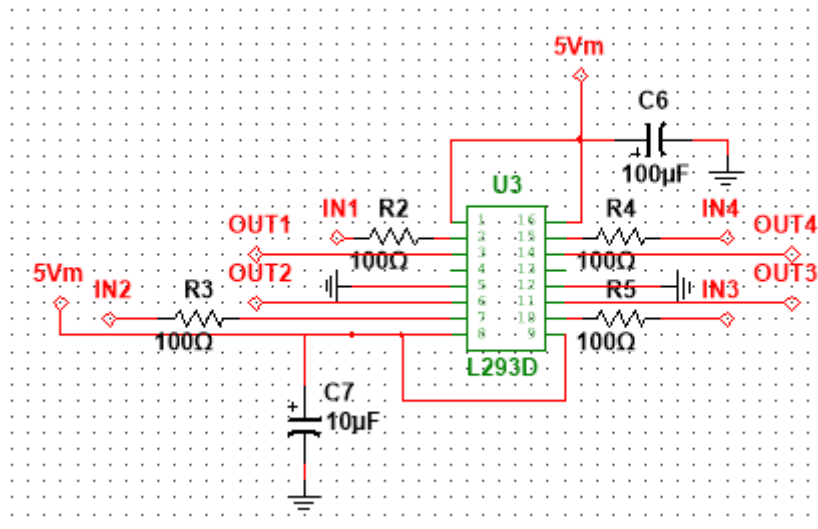


Figura 10: Driver de motores

Las entradas INx van al microcontrolador, a partir del cual se envían 1s y 0s lógicos para crear las señales cuadradas del PWM. Las salidas OUTx irán conectadas a los motores. El control del ancho de pulso se hace

también desde el microcontrolador y será la salida del controlador a implementar para que el vehículo siga la línea, según las lecturas de las bobinas.

### 3.4. Detección de Obstáculos

Con el objetivo de detectar objetos que obstruyan el camino del vehículo autoguiado, se utilizó el sensor de distancia por emisión infraroja *Sharp GP2Y0A21YK*. El objetivo fue incorporar una nueva primitiva que permitiera al vehículo tomar decisiones adecuadas de acuerdo a su entorno. La Figura 11 muestra el modelo comercial del cual se dispone en el laboratorio C. Las características eléctricas del dispositivo se listan a continuación:

- Vcc: 4,5V a +5,5V
- Rango de distancias: 10cm a 80cm
- $V_o @ L=80\text{cm}$ : 0,25V a 0,55V
- $I_{cc} @ L=80\text{cm}$ : 30mA a 40mA
- $V_o(@L=10\text{cm}) - V_o(@L=80\text{cm})$ : 1,65V a 2,15V

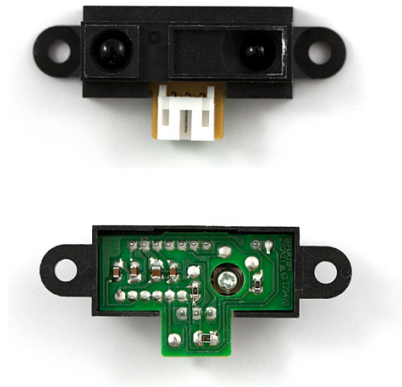


Figura 11: Sensor de proximidad *Sharp GP2Y0A21YK*

La Figura 12 ilustra la respuesta del sensor en su rango de funcionamiento correspondiente. Se observa un máximo entre 5cm y 10cm con una respuesta aproximadamente lineal hasta 30cm.

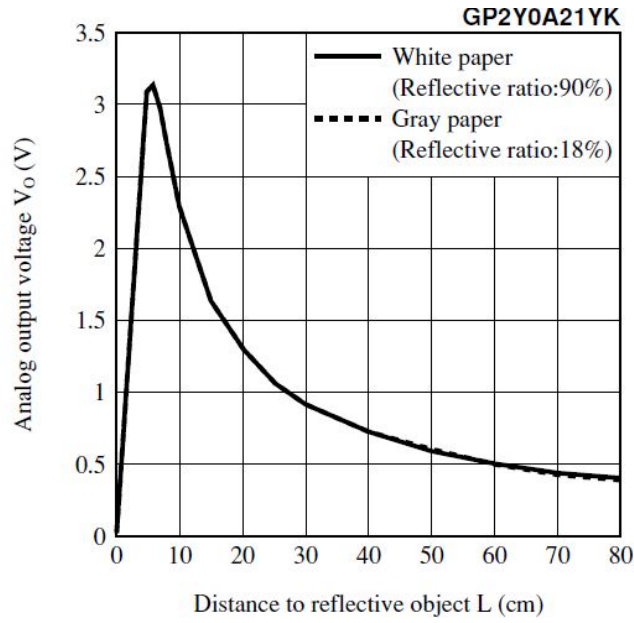


Figura 12: Relación  $V_o$  (V) vs. distancia (cm)

El funcionamiento del sensor GP2Y0A21YK se observa en la Figura 13. El detector infrarojo situado a la derecha del sensor recibe la señal reflejada desde una cierta superficie y enfocada a través del lente. El circuito interno del sensor permite arrojar una señal que sigue el patrón de la Figura 12.

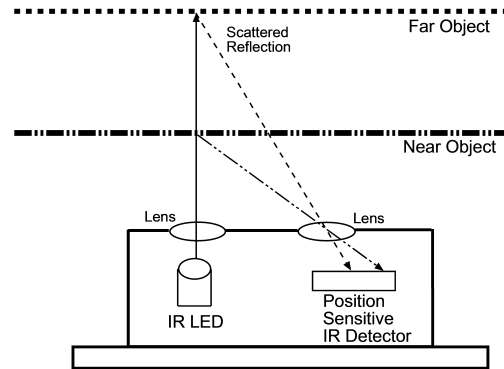


Figura 13: Funcionamiento del sensor de proximidad

Para adquirir la señal deseada desde el demoQE128, se acondicionó la señal utilizando el circuito de la Figura 14. Se utilizó la segunda etapa del circuito para reducir el nivel de voltaje en un 60% y evitar máximos que sobrepasen los límites del micro-controlador.

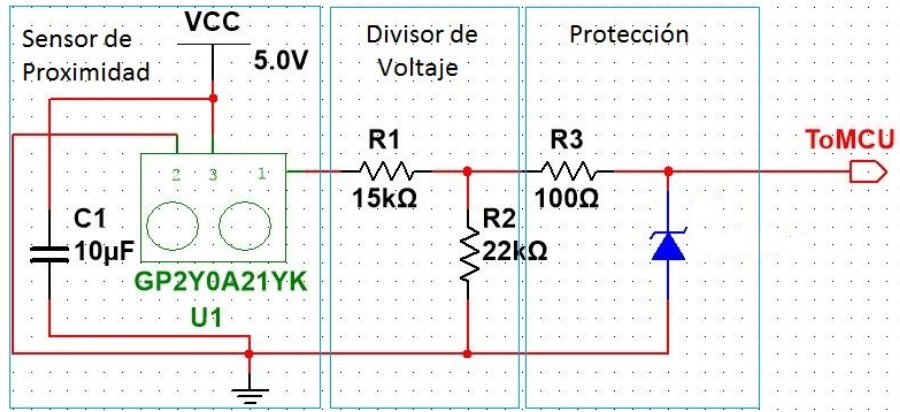


Figura 14: Circuito de adquisición y acondicionamiento

Experimentalmente se midieron los voltajes a la salida del circuito de adquisición para tener una idea de qué límite utilizar dentro del firmware para determinar que un obstáculo estaba efectivamente presente frente al vehículo. De este modo se podía ajustar con un sólo parámetro qué tan lejos se podían detectar los obstáculos, respetando los límites del sensor.

### 3.5. Detección de Señal de Cruce

A la lógica del vehículo autoguiado se añadió la detección de señales de cruce colocadas en las intersecciones de la cuadrilla. En la pista de pruebas existían marcas oscuras en dichos lugares. Para su adecuada detección se utilizó el sensor óptico TCRT1000 de la Figura 15. Es un sensor reflectivo que incluye un emisor infrarojo y un fototransistor en un mismo empaquetado sellado que bloquea la luz visible.

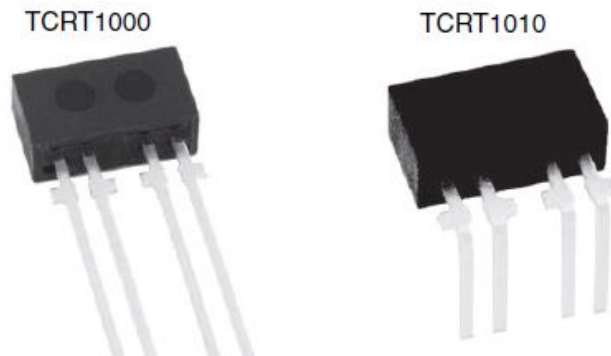


Figura 15: Sensor óptico *TCRT1000*

Las dimensiones del módulo se observan en la Figura 16.

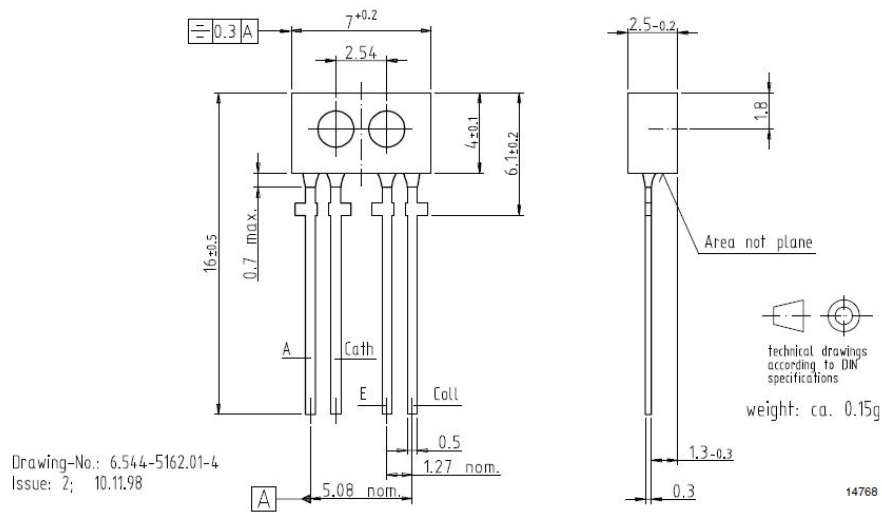


Figura 16: Dimensiones del sensor óptico *TCRT1000*

El emisor genera luz infraroja de hasta 940nm que es reflejada (o no) por la superficie correspondiente. La salida detecta esta luz y se habilita (o no) el paso de corriente de colector a emisor. La Figura 17 ilustra el funcionamiento.

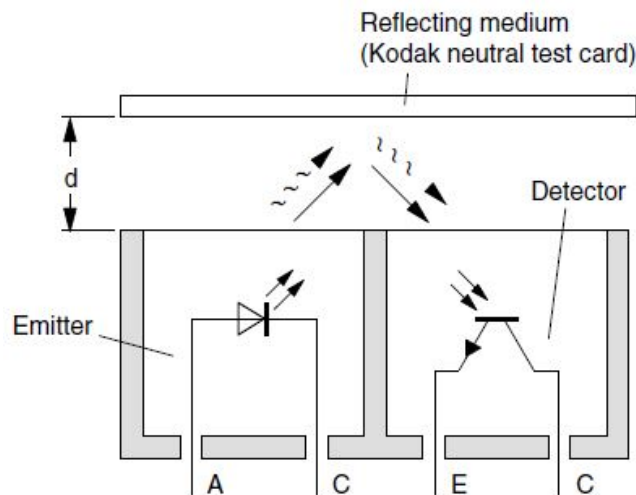


Figura 17: Funcionamiento del sensor óptico

Se añadió el circuito de acondicionamiento de la Figura 18. La salida del *TCRT1000* es a través de una resistencia *pull-up* que se conecta directamente al comparador *LM311*. La salida de este módulo depende de la diferencia de voltajes entre los pines 2 y 3. En la entrada inversora se fija un cierto voltaje de *threshold* con el cual se comparará la señal de la entrada no-inversora. Los niveles de tensión posibles estarán entre el %60 de *Vcc* (3V) y el voltaje fijado en el pin 1 (GND). Al final se agregó una etapa de protección como parte final del circuito.

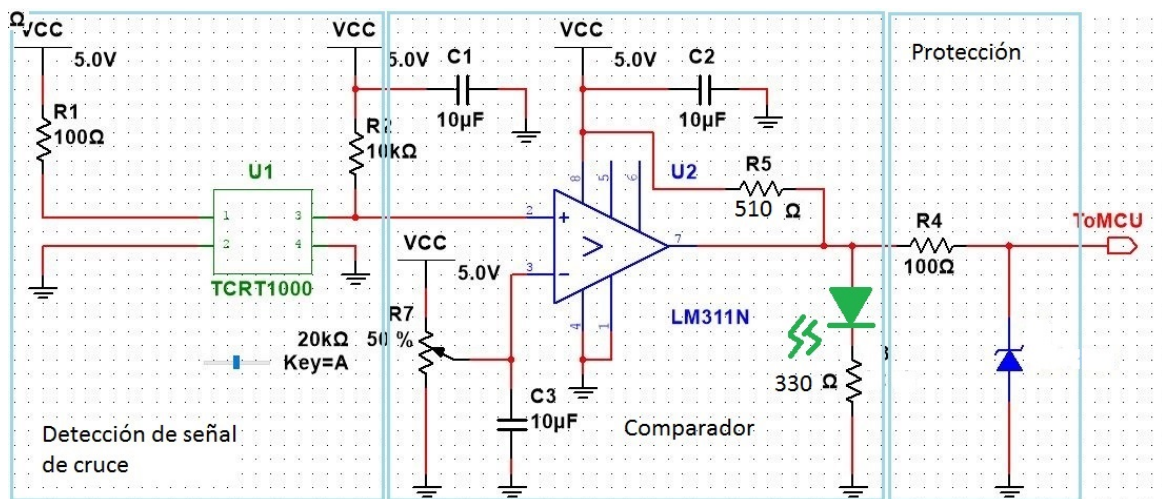


Figura 18: Circuito de adquisición y acondicionamiento

Experimentalmente lo más complicado de este circuito fue calibrar el potenciómetro para lograr, en primer lugar, detectar correctamente las líneas de parada en la pista, y en segundo lugar, evitar que el circuito arroajara falsos positivos dadas las vibraciones del carro o irregularidades en la pista. Esta parte fue esencial para el correcto funcionamiento del código embebido, puesto que éste dependía fuertemente de la detección de líneas para la realización oportuna de las rutas pedidas (cruzar hacia la derecha, izquierda, o seguir recto)

### 3.6. Circuito Seguidor de Línea

Esta configuración fue utilizada para acondicionar la línea de pista por la cual se desplazará el vehículo. Consiste básicamente en obtener una señal desde el microcontrolador (onda cuadrada de 3V @56kHz) y pasarlo por un circuito emisor común. De esta forma la señal que debe seguir el carro a través de la bobinas estará correctamente acondicionada. Un esquemático del circuito es mostrado en la Figura 19.

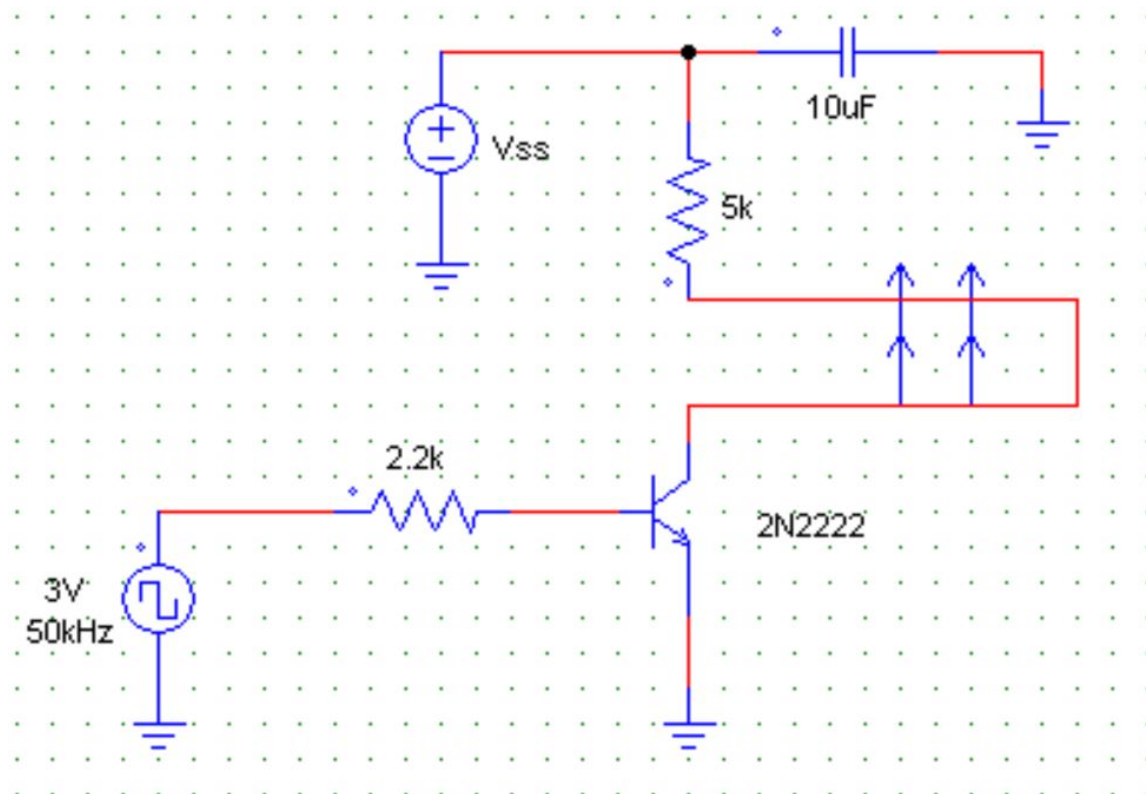


Figura 19: circuito Seguidor de Línea

### 3.7. Circuito Transmisión Infrarroja – Vehículo / Mesón

Estas dos configuraciones son necesarias para acondicionar la transmisión infrarroja entre el carrito y el mesón. La primera consiste en un TSOP1136 protegido con un diodo zener de 3 voltios y una resistencia. El segundo es un circuito emisor común con un capacitor y un diodo en inverso. Ambas configuraciones son necesarias para la transmisión infrarroja entre los dispositivos. Estos circuitos mostrados en las figuras Figura 20 y Figura 21.

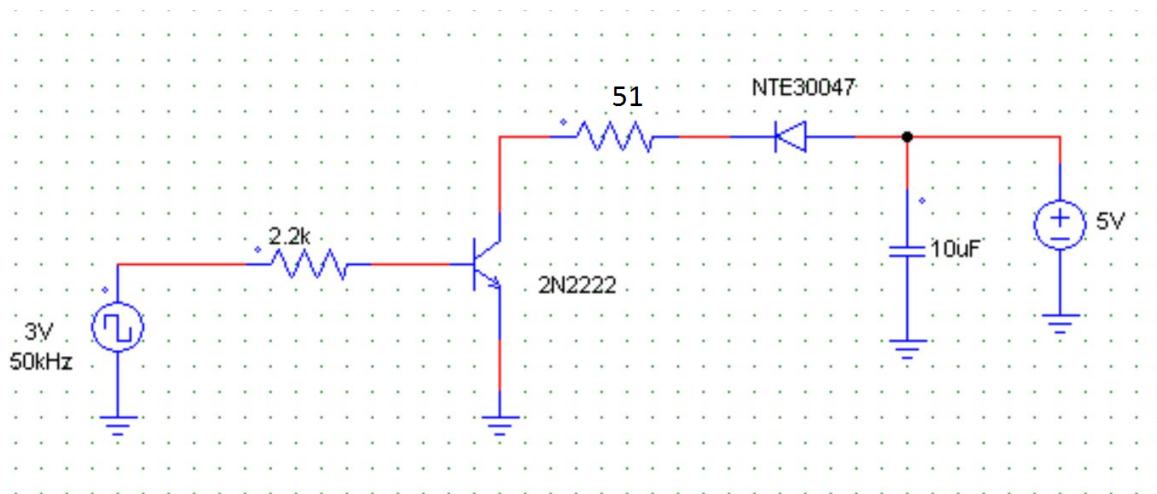


Figura 20: Circuito Trasmisión en mesón

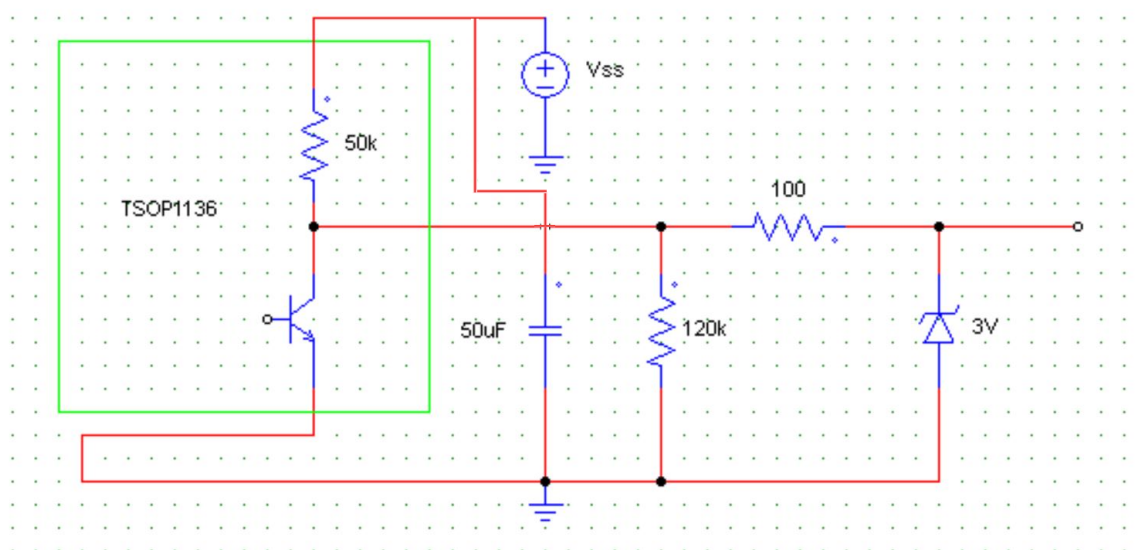


Figura 21: Circuito recepción vehículo

### 3.8. Montaje final

Una vez probados todos los circuitos en Protoboard, se procedió a soldarlos en baquelita para la construcción final del vehículo. Se utilizaron dos baquelitas:

- **Baquelita de bobinas:** esta baquelita iba rozando el piso y en ella se incluyeron los circuitos de ambas bobinas al igual que el circuito de detección de línea de parada, como muestra en la Figura 22. Fue de suma importancia fijar con fuerza esta baquelita al cuerpo del vehículo para minimizar las vibraciones y movimientos, que podían conllevar a falsos positivos del detector de línea de parada, lo que finalmente incurría en una mala ejecución de las rutas propuestas. La distancia entre el suelo y la baquelita fue tal que no rozara con la pista, pero que fuera lo suficientemente baja para que detectara correctamente las líneas de parada.



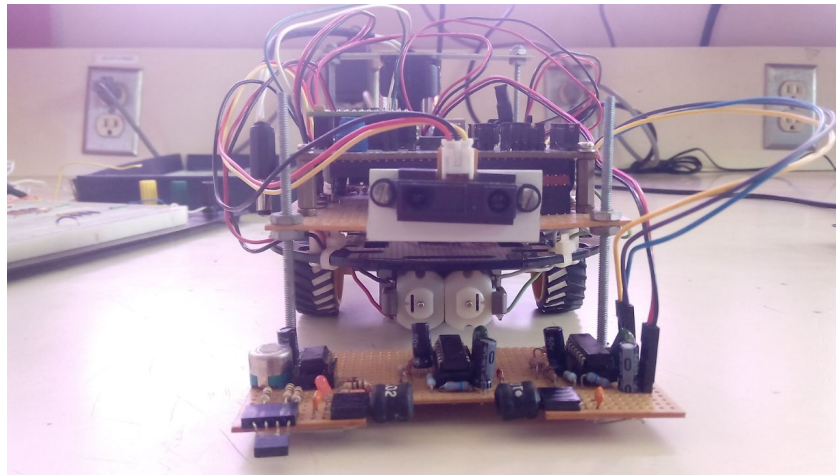


Figura 22: Baquelita de bobinas y detección de línea de parada.

- **Baquelita del microcontrolador:** esta baquelita constituyó el cuerpo del vehículo autónomo. Sobre ella reposó el demoQE128, al igual que los circuitos correspondientes a los drivers de motores, detector Sharp, detector de infrarrojo TSOP, fuentes de alimentación y todo el cableado hacia el microcontrolador. Una vista de esta baquelita se muestra en la Figura 23

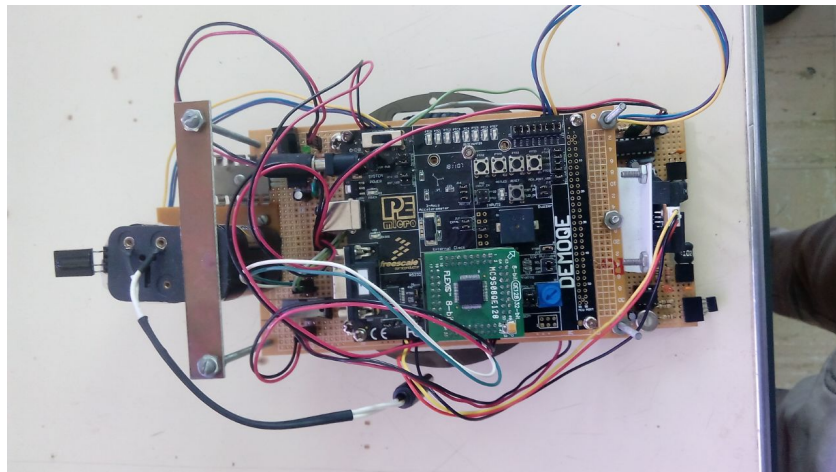


Figura 23: Baquelita del microcontrolador.

El enfoque del diseño en baquelita fue del tipo “Plug&Play” en el que fuera fácilmente accesible cada módulo por separado, lo que permitió hacer depuración tanto del hardware como del software de forma segura y cómoda.



## 4. Software

Esta sección presenta la arquitectura de software del sistema autónomo. Esta arquitectura es implementada con tres objetivos específicos:

- Estimar posición del vehículo.
- Planificar camino hasta la meta.
- Comunicar el computador con el vehículo.

La funcionalidad de esta arquitectura implementada es detallada en la Section 4.

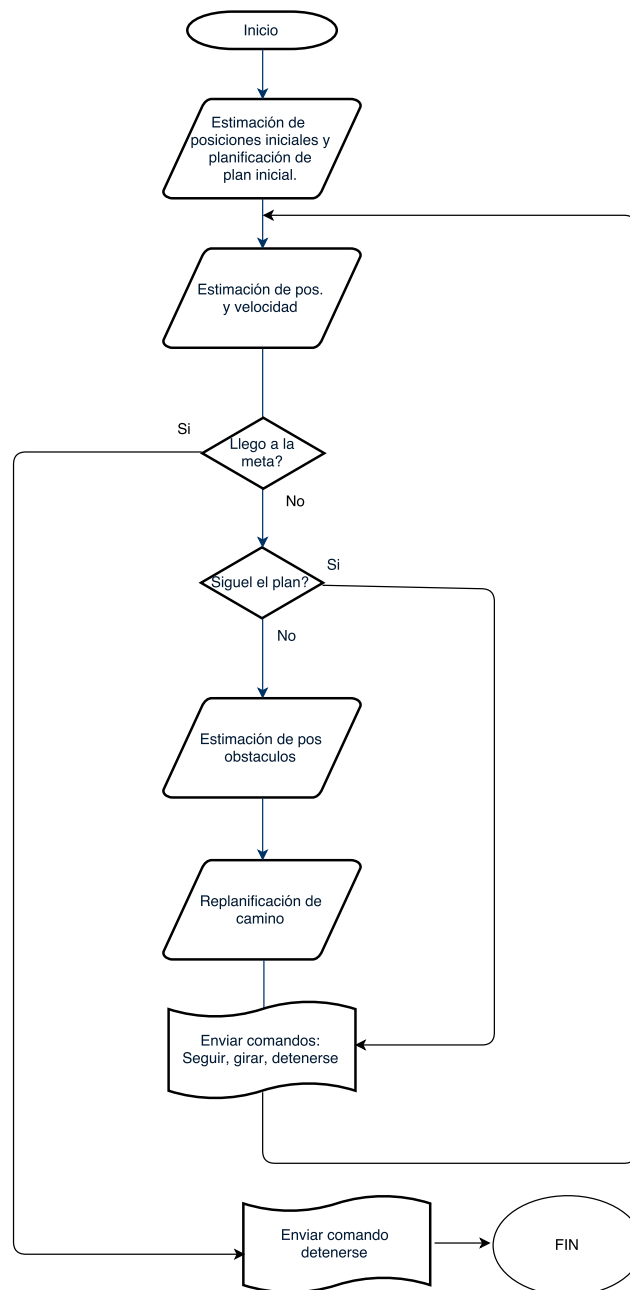


Figura 24: Arquitectura de Software

Una vez discretizado el espacio de trabajo del robot (en base a los cruces de la pista) se mapea cada intersección como nodo de un grafo, implementado en Python. Esta arquitectura de planificación es implementada en dos clases principales:

1. Robot: incluye las definiciones basicas del robot, su posición, su orientación y la ruta a seguir. Incluye métodos para estimar la posición y orientación del robot y definir la acción a tomar, en el archivo `robot.py`.

2. World: Establece el ambiente de trabajo como un grafo, en el archivo `world.py`.
3. Grafo: Define el elemento de nodo y las interconexiones e la pista, en el archivo `graph.py`.

A continuación, se presentan las especificaciones de la implementación de cada una de estas etapas.

#### 4.1. Visión

La etapa de visión por computadora se desarrolló en *Python 3.5.0* bajo la librería OpenCV 3, dicha librería ofrece las siguientes funcionalidades de interés:

1. Interfaz con cámara de video.
2. Extracción de fondo de imagen.
3. Estimación de posición de objetos.

En particular, resultan de interés las funciones presentadas en la tabla Tabla 1

Tabla 1: Funciones de interés para la etapa de visión

<code>inRange</code>	Extrae los pixeles en un color de la imagen dada
<code>erode</code>	Elimina residuos de la extracción de máscara del objeto
<code>dilate</code>	Dilata la máscara obtenida para reducción de ruido
<code>findContours</code>	calcula el contorno de las formas presentes en la máscara
<code>minEnclosingCircle</code>	Obtiene el radio y el centro del círculo presente en la máscara

Para estimar la posición del robot se comienza estimando mediante un sistema de visión por computadora, basado en OpenCV 3.0.0 para Python. El algoritmo principal realiza la estimación de la siguiente forma:

- Hacer captura de cámara.
- Obtener máscara de vehículo filtrando en el rango de colores del vehículo, aplicando erosión y dilatando la imagen.
- Hallar circunferencia de mayor radio en la captura.
- Tomar centro de circunferencia como ubicación del vehículo.
- Ubicar el vehículo en un nodo del grafo.

Una vez estimado el nodo en que se ubica el vehículo se estima su orientación, debido a que solo se usa un punto como referencia de posición, no es posible estimar la orientación real del vehículo. Por lo tanto se estima la orientación mediante los cruces realizados entre cada par de grafos, asumiendo la orientación inicial del vehículo como constante.

#### 4.2. Planificación

La planificación implementada se basó en teoría de grafos, sobre una versión discretizada del espacio de trabajo. Para ello se implementó una librería de grafos sobre Python 3.0 con los siguientes objetivos:

1. Representación de caminos unidireccionales y bidireccionales.
2. Representación de heurísticas admisibles basadas en distancia.
3. Inhabilitación de caminos.
4. Planificación de caminos basada en búsquedas discretas con heurística.

Esta última etapa resulta de mayor interés para este proyecto, pues debe ser capaz de calcular el camino más corto entre dos puntos dados. Para esto se utilizó el algoritmo de búsqueda  $A^*$ , pues resulta en planes óptimos con poca exigencia computacional, como se muestra en la Figura 25

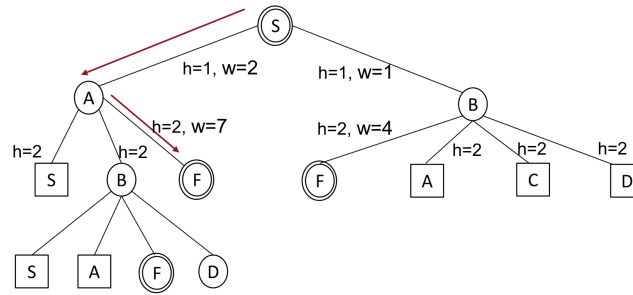


Figura 25: Interpretación gráfica del algoritmo A\*

Una vez conocida la posición del vehículo es necesario planificar la trayectoria a seguir, operación que debe ser realizada a una tasa de tiempo real, tal que sea posible re-planificar cuando sea necesario. Debido a este requerimiento de velocidad y a la representación discreta del ambiente se decide hacer uso de algoritmo de búsqueda de grafos como método de planificación de camino.

El algoritmo A\* es implementado en base a una heurística de distancia cartesiana entre la ubicación del robot y la meta, y se integra como parte de la clase `robot.py`.

### 4.3. Comunicación

La comunicación con el microcontrolador se realizó mediante protocolo serial, para ello se usó la librería `serial` incluida en Python 3.0 con un protocolo de comunicación binario de instrucciones simples. Como se muestra en la Figura 26, se utilizaron 3 elementos principales para realizar las comunicaciones dentro del proyecto. Se puede separar en dos etapas:

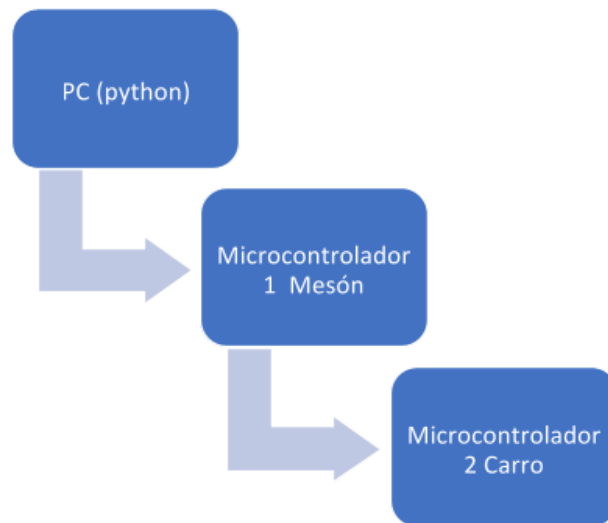


Figura 26: Diagrama de la comunicación

- **Comunicación PC-Microcontrolador1:** Esta se refiere al intercambio de información entre el programa en Python (etapa anterior) sobre la acción que debe realizar el carro de acuerdo a la pista y los obstáculos presentes y el microcontrolador del mesón. Esta comunicación es unidireccional desde el Pc al microcontrolador. Sucede a través del protocolo de comunicación serial. Esta etapa es la encargada de encapsular un paquete de datos generados por el programa en Python que contiene la dirección que debe seguir el carro y el identificador (opcional) y se envía utilizando un carácter de la siguiente forma:

- “G” = acción adelante.
- “S” = acción detenerse.
- “I” = acción cruce izquierda.
- “D” = acción cruce derecha.
- “A” = acción retroceder.

Para evitar errores en el establecimiento de la comunicación, se decidió implementar un protocolo de 3 vías o conocido como “handshake”. Consiste en enviar desde el PC un carácter (en nuestro caso C), donde se indica que el dispositivo está listo para enviar. Del otro lado, el microcontrolador está esperando recibir un C. Una vez que es recibida, se entera que puede iniciarse la comunicación y envía otro carácter, en nuestro caso C. Y el computador, tras enviar dicho carácter, queda a la espera del carácter de confirmación, conocido como ACK. Una vez la PC recibe la última C desde el microcontrolador se inicia la comunicación regular.

- **Comunicación Microcontrolador1-Microcontrolador2:** Este intercambio de datos se establece entre el microcontrolador del mesón y el microcontrolador ubicado en el carrito. La comunicación se establece a través de un protocolo propio utilizando la tecnología infrarroja (TSOP1136). Este dispositivo tiene características particulares de uso disponible en su hoja de datos, como recibir trenes de pulsos cuadrados de 36KHz, los cuales fueron aplicados al algoritmo de envío y recepción respectivamente. Para establecer la comunicación unidireccional con el sentido Microcontrolador 1 – Microcontrolador 2, se utilizan dos circuitos externos expuestos previamente. Los mensajes utilizados fueron enviados a través de 5 bits distribuidos de la siguiente forma:

- “100000” = adelante.
- “010000” = detenerse.
- “001000” = cruce izquierda.
- “000100” = cruce derecha.
- “000001” = retroceder.

Se utilizó esta codificación para poder detectar fácilmente los errores en la transmisión de los datos. El algoritmo implementado en el microcontrolador 2 es capaz de saber si efectivamente el mensaje recibido es un mensaje válido y en el caso contrario, descartarlo.

Por otro lado, se obtuvieron errores en cuanto a la sincronización del envío y recepción de datos a través de este medio, por lo que se decidió implementar un preámbulo a cada mensaje con el fin de brindar sincronización a la comunicación y obtener mensajes coherentes. El preámbulo utilizado fue “011”. El microcontrolador al detectar esta secuencia de bits en un mensaje, interpreta que está en pleno proceso de recepción de un mensaje valido y almacena los próximos 5 bits. Posteriormente valida el mensaje recibido y toma la acción correspondiente.

La Figura 27 presenta las lecturas en osciloscopio del mensaje enviado y recibido.

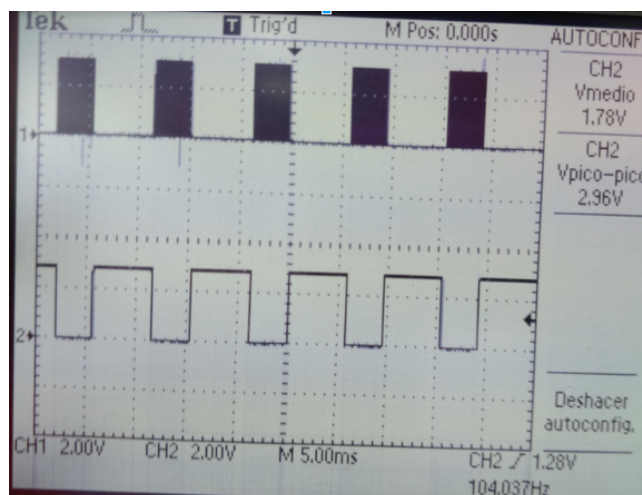


Figura 27: Señales de envío (parte superior) y recepción (parte inferior) infrarroja

Se aprecia en el canal 1, la salida del microcontrolador 1, donde se observan trenes de pulsos al enviar un 1, y bajos al enviar 0. Por otro lado, en el canal 2, se muestra la recepción de dichos pulsos en altos de 2.96 V en el caso de haber enviado un 0 lógico o un bajo de 0 V en caso de haber enviado un 1 lógico.

Toda comunicación tarda un tiempo en transmitir el mensaje, lo cual se traduce en un retraso entre la transmisión y la recepción. A continuación, en la Figura 28 se muestra la medición de dicho retraso que, para la aplicación utilizada, no representa un inconveniente. El retraso es de 102 microsegundos.

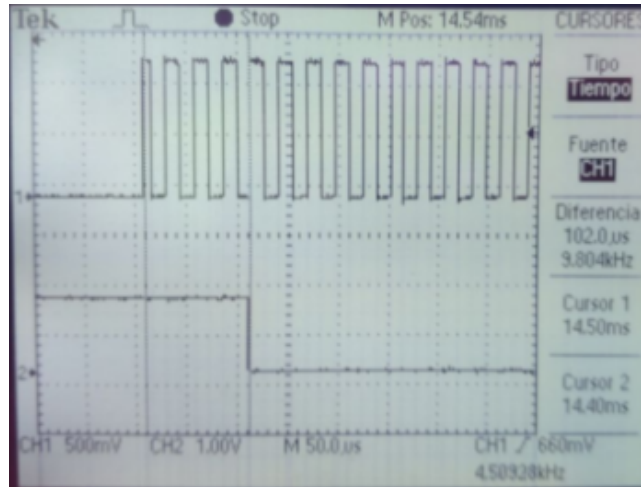


Figura 28: Retardo del mensaje recibido respecto al mensaje enviado

#### 4.4. *Firmware* del Vehículo Autoguiado

Se utilizó el microcontrolador *HCS08QE128* de *NXP Semiconductors* y el módulo de desarrollo *DemoQE128* del mismo fabricante. Se programó utilizando el IDE *CodeWarrior 10.6*.

El *firmware* del vehículo debe integrar los distintos módulos ya detallados y generar una solución eficiente para proveer de tiempos de ejecución aceptables. Se utilizó una máquina de estados e interrupciones con temporizadores para iniciar su ejecución tras cada nuevo ciclo y manejar la comunicación con el sistema de visión por computadora.

Se implementaron 6 estados: *ESTADO0*, *LEER\_BOBINAS*, *CONTROL\_PWM*, *LEER\_DISTANCIA*, *SEÑAL\_CRUCE* y *TRANSMISION\_SERIAL*. El primero de ellos es necesario para no permitir que la ejecución continúe. Se fija, utilizando la interrupción respectiva, la velocidad de la máquina en 50 ciclos por segundo. El segundo adquiere el valor de las bobinas utilizando los módulos de conversión ADC de los cuales dispone el  $\mu C$ . El tercero se encarga de establecer las variables de control y asignar los anchos de pulsos respectivos de la señal PWM que va hacia los motores, dependiendo del modo en el cual se encuentre el AGV. Se disponen de 5 primitivas o *modos*: *ADELANTE*, *REVERSA*, *TURN\_RIGHT*, *TURN\_LEFT* y *DETENER*. La Figura 29 describe el cambio entre cada una de estas.

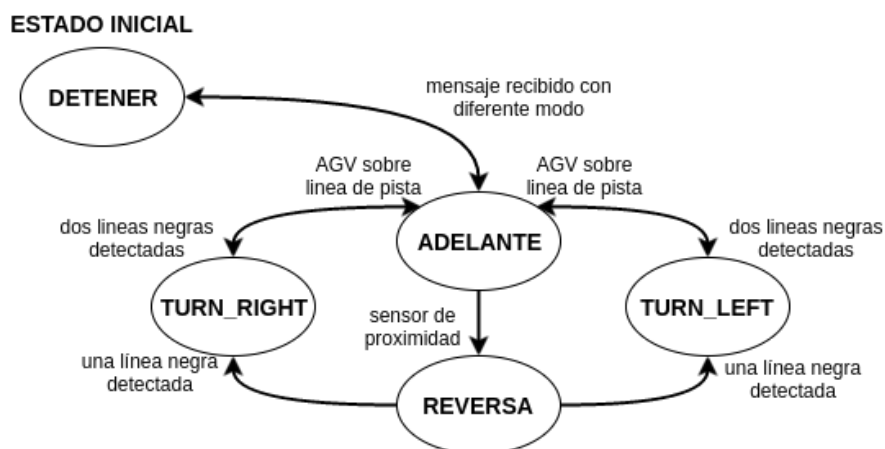


Figura 29: Modos de ejecución del AGV

El cuarto estado se encarga de adquirir el valor del sensor de proximidad por infrarojo. Nuevamente se utiliza el módulo ADC y se implementa esta vez un filtro *Moving Average* de 4 muestras para promediar los valores

obtenidos. Dependiendo del valor registrado, en el rango 0 -255, se fija un valor de *threshold* (100) a partir del cual el objeto en frente del vehículo se encuentra a una distancia lo suficientemente cercana como para activar una acción en el AGV.

El quinto registra las líneas negras sobre cada cruce. Se genera una acción, si el AGV va hacia adelante, al detectar dos líneas consecutivas. Para el vehículo en modo reversa, se requiere solamente detectar la primera de ellas. Se implementa además otro filtro *Moving Average* para evitar falsos positivos durante el recorrido sobre la pista.

El último estado, con propósitos de control de ejecución, transmite el valor de los anchos de pulsos PWM respectivos a través del terminal serial del módulo de desarrollo. La Figura 30 describe el comportamiento del *firmware* a través de diagramas de flujo.

Finalmente, la Figura 31 describe el proceso de recepción de mensajes. Se establece un preámbulo válido, en el receptor, de 3 bits (100). A partir de la recepción de estos valores, se continúa con los siguientes 5 bits que componen el mensaje respectivo. Se definen 5 tipos de mensajes, uno para cada primitiva del AGV.

Con propósitos de verificación, el apéndice A contiene los códigos de programación utilizados en el vehículo. Adicionalmente, en los siguientes enlaces se logran observar las distintas pruebas realizadas:

- Recorrido libre:
  - <https://www.youtube.com/watch?v=pCBhxK1X9sM>
  - <https://www.youtube.com/watch?v=Kj2bGL5unXg>
- Recorrido con obstáculos:
  - <https://www.youtube.com/watch?v=-YINWiGF6Xo>
  - <https://www.youtube.com/watch?v=RY47U0YADUw>

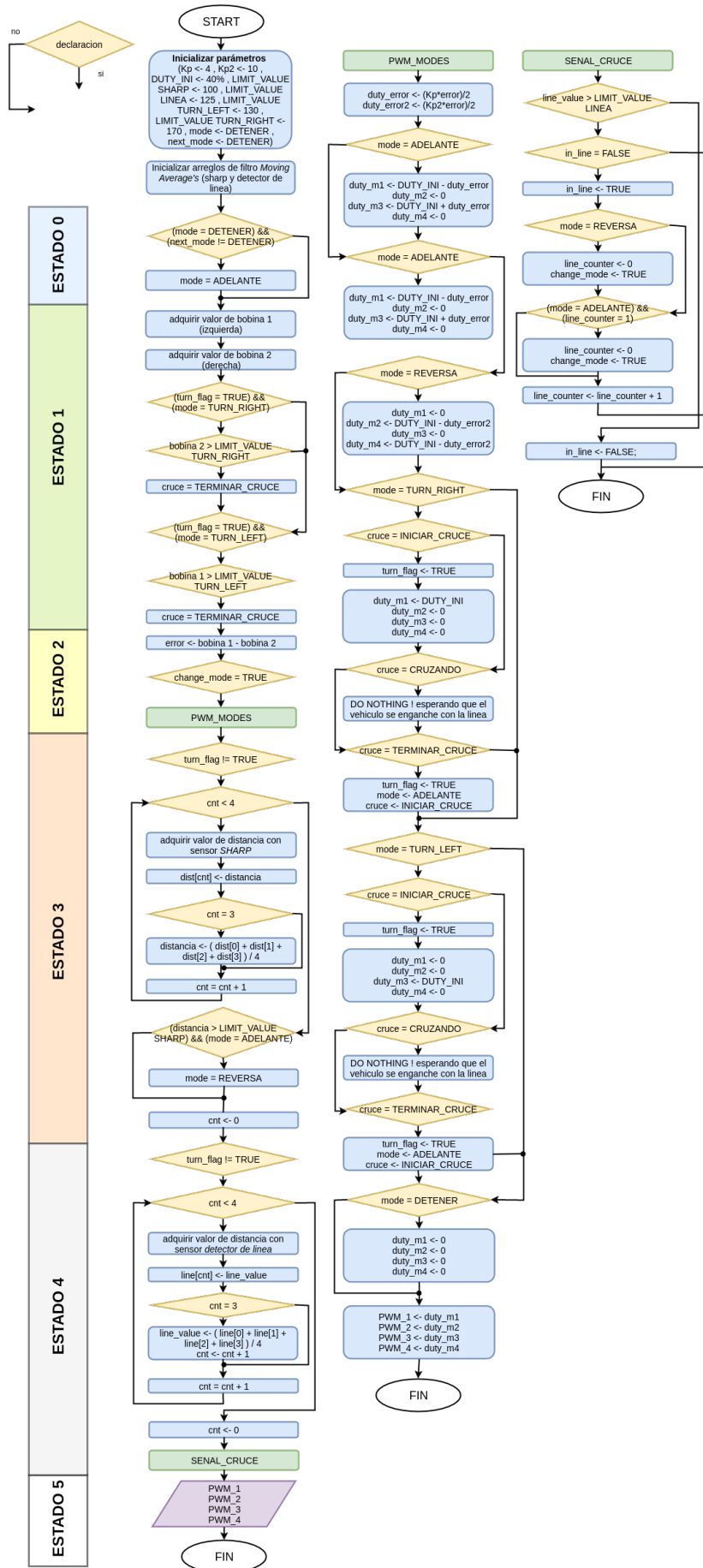


Figura 30: Diagrama de flujo que explica el *Firmware* del Vehículo Autoguiado

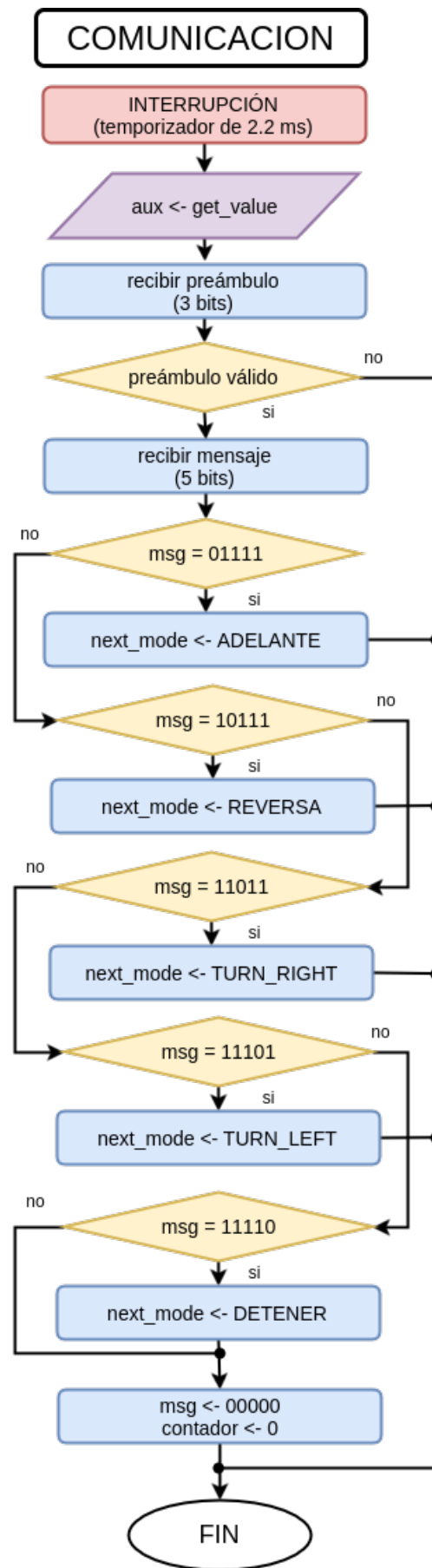


Figura 31: Diagrama de flujo que explica el *Firmware* del Vehículo Autoguiado



## 4.5. Consideraciones finales

El enfoque de diseño de software se basaba en programación de objetos, generando clases específicas para el robot, el espacio de trabajo y el sistema de comunicación, resultando en un funcionamiento satisfactorio en todos los escenarios de diseño requeridos. Sin embargo, se pueden plantear una serie de consideraciones para implementaciones futuras, específicamente en las siguientes etapas:

- **Visión por computador:** en un futuro, podría ser de mayor utilidad detectar tanto la orientación como la posición del vehículo. Tal avance requeriría la asignación de un color extra al robot o el uso de una forma conocida para la máscara de robot, de forma que se pueda estimar la orientación del vehículo, permitiendo el inicio del movimiento desde posiciones y orientaciones arbitrarias.
- **Planificación de camino:** La planificación de trayectorias se realizó de forma eficiente mediante el algoritmo A\*. Sin embargo, es posible que en un futuro también se empleen métodos de planificación en espacios continuos, como lo son los campos de potencial y la optimización de trayectorias, lo que permitiría considerar restricciones adicionales en el problema de planificación, como los obstáculos y el movimiento no restringido a una línea.
- **Comunicación:** El sistema de comunicación basado en infrarrojo resultó satisfactorio para el entorno de trabajo empleado. Sin embargo, este tipo de comunicación cuenta con la desventaja de ser muy susceptible a las interferencias externas, generando errores cuando múltiples fuentes se encuentran presentes en el ambiente de trabajo. Por lo tanto en un futuro podría resultar de interés el hacer uso de protocolos alternos de comunicación, como Wi-Fi o Bluetooth, pues son de mayor confianza a la hora de transmitir paquetes de datos y garantizan mayor robustez ante interferencias en el ambiente.

# Apéndice A

## Robot.py

```
1 from collections import deque
2 import numpy as np
3 import cv2
4 import serial
5
6 class robot(object):
7
8     def __init__(self):
9         self.id = 0xFF
10        self.pos = [0,0]
11        self.vel = [0,0]
12        self.node = '1'
13        self.id = 'L'
14        # estados = "STOP", "ATRAS", "DER", "IZQ", "GO"
15        self.cond = 0
16        self.state = "STOP"
17        self.dt = 0.1
18        self.lb = (10, 100, 100)
19        self.ub = (30, 255, 255)
20
21    def getpos(self, camera):
22        # obtiene la imagen del espacio de trabajo
23        (grabbed, frame) = camera.read()
24        frame = cv2.resize(frame, (500, 500))
25        ancho = 500
26        largo = 500
27        #frame = imutils.resize(frame, width=600)
28        blurred = cv2.GaussianBlur(frame, (11, 11), 0)
29        hsv = cv2.cvtColor(frame, cv2.COLOR_BGR2HSV)
30
31        # calcula la mascara del vehiculo
32        mask = cv2.inRange(hsv, self.lb, self.ub)
33        mask = cv2.erode(mask, None, iterations=2)
34        mask = cv2.dilate(mask, None, iterations=2)
35
36        res = cv2.bitwise_and(frame, frame, mask = mask)
37
38        # obtiene los contornos de la mascara
39        cnts = cv2.findContours(mask.copy(), cv2.RETR_EXTERNAL, cv2.CHAIN_APPROX_SIMPLE)[-2]
40        x = 0
41        y = 0
42        # calcula el centro del circulo
43        if len(cnts) > 0:
44            # halla el maximo circulo en la mascara
45            c = max(cnts, key=cv2.contourArea)
46            ((x, y), radius) = cv2.minEnclosingCircle(c)
47
48        # calcula la velocidad del vehiculo
49        dx = x - self.pos[0]
50        dy = y - self.pos[1]
51        self.vel = [dx/self.dt, dy/self.dt]
52
53        # actualiza la posicion del vehiculo
54        self.pos = [x, y]
55
56        self.node = 0
57
58        #NODO 1
59        if (self.pos[0] >= ((0*ancho)/4)) and (self.pos[0] <= ((1*ancho)/4)) and (self.pos[1]
60        >= ((0*largo)/3)) and (self.pos[1] <= ((1*largo)/3)) :
61            self.node = "1"
62
63        #NODO 8
64        if (self.pos[0] >= ((0*ancho)/4)) and (self.pos[0] <= ((1*ancho)/4)) and (self.pos[1]
65        >= ((1*largo)/3)) and (self.pos[1] <= ((2*largo)/3)) :
66            self.node = "8"
67
68        #NODO 9
69        if (self.pos[0] >= ((0*ancho)/4)) and (self.pos[0] <= ((1*ancho)/4)) and (self.pos[1]
70        >= ((2*largo)/3)) and (self.pos[1] <= ((3*largo)/3)) :
```

```

68         self.node = "9"
69
70         #NODO 2
71         if (self.pos[0] >= ((1*ancho)/4)) and (self.pos[0] <= ((2*ancho)/4)) and (self.pos[1]
72         >= ((0*largo)/3)) and (self.pos[1] <= ((1*largo)/3)) :
73             self.node = "2"
74
75         #NODO 7
76         if (self.pos[0] >= ((1*ancho)/4)) and (self.pos[0] <= ((2*ancho)/4)) and (self.pos[1]
77         >= ((1*largo)/3)) and (self.pos[1] <= ((2*largo)/3)) :
78             self.node = "7"
79
80         #NODO 10
81         if (self.pos[0] >= ((1*ancho)/4)) and (self.pos[0] <= ((2*ancho)/4)) and (self.pos[1]
82         >= ((2*largo)/3)) and (self.pos[1] <= ((3*largo)/3)) :
83             self.node = "10"
84
85         #NODO 3
86         if (self.pos[0] >= ((2*ancho)/4)) and (self.pos[0] <= ((3*ancho)/4)) and (self.pos[1]
87         >= ((0*largo)/3)) and (self.pos[1] <= ((1*largo)/3)) :
88             self.node = "3"
89
90         #NODO 6
91         if (self.pos[0] >= ((2*ancho)/4)) and (self.pos[0] <= ((3*ancho)/4)) and (self.pos[1]
92         >= ((1*largo)/3)) and (self.pos[1] <= ((2*largo)/3)) :
93             self.node = "6"
94
95         #NODO 11
96         if (self.pos[0] >= ((2*ancho)/4)) and (self.pos[0] <= ((3*ancho)/4)) and (self.pos[1]
97         >= ((2*largo)/3)) and (self.pos[1] <= ((3*largo)/3)) :
98             self.node = "11"
99
100        #NODO 4
101        if (self.pos[0] >= ((3*ancho)/4)) and (self.pos[0] <= ((4*ancho)/4)) and (self.pos[1]
102        >= ((0*largo)/3)) and (self.pos[1] <= ((1*largo)/3)) :
103            self.node = "4"
104
105        #NODO 5
106        if (self.pos[0] >= ((3*ancho)/4)) and (self.pos[0] <= ((4*ancho)/4)) and (self.pos[1]
107        >= ((1*largo)/3)) and (self.pos[1] <= ((2*largo)/3)) :
108            self.node = "5"
109
110        #NODO 12
111        if (self.pos[0] >= ((3*ancho)/4)) and (self.pos[0] <= ((4*ancho)/4)) and (self.pos[1]
112        >= ((2*largo)/3)) and (self.pos[1] <= ((3*largo)/3)) :
113            self.node = "12"
114
115        #Show frame
116        cv2.rectangle(res,(((0*ancho)/4),((0*largo)/3)),(((1*ancho)/4),((1*largo)/3))
117        ,(0,255,0),2)
118        cv2.rectangle(res,(((1*ancho)/4),((0*largo)/3)),(((2*ancho)/4),((1*largo)/3))
119        ,(0,255,0),2)
120        cv2.rectangle(res,(((2*ancho)/4),((0*largo)/3)),(((3*ancho)/4),((1*largo)/3))
121        ,(0,255,0),2)
122        cv2.rectangle(res,(((3*ancho)/4),((0*largo)/3)),(((4*ancho)/4),((1*largo)/3))
123        ,(0,255,0),2)
124        cv2.rectangle(res,(((0*ancho)/4),((1*largo)/3)),(((1*ancho)/4),((2*largo)/3))
125        ,(0,255,0),2)
126        cv2.rectangle(res,(((1*ancho)/4),((1*largo)/3)),(((2*ancho)/4),((2*largo)/3))
127        ,(0,255,0),2)
128        cv2.rectangle(res,(((2*ancho)/4),((1*largo)/3)),(((3*ancho)/4),((2*largo)/3))
129        ,(0,255,0),2)
130        cv2.rectangle(res,(((3*ancho)/4),((1*largo)/3)),(((4*ancho)/4),((2*largo)/3))
131        ,(0,255,0),2)
132        cv2.rectangle(res,(((0*ancho)/4),((2*largo)/3)),(((1*ancho)/4),((3*largo)/3))
133        ,(0,255,0),2)
134        cv2.rectangle(res,(((1*ancho)/4),((2*largo)/3)),(((2*ancho)/4),((3*largo)/3))
135        ,(0,255,0),2)
136        cv2.rectangle(res,(((2*ancho)/4),((2*largo)/3)),(((3*ancho)/4),((3*largo)/3))
137        ,(0,255,0),2)
138        cv2.rectangle(res,(((3*ancho)/4),((2*largo)/3)),(((4*ancho)/4),((3*largo)/3))
139        ,(0,255,0),2)
140
141        #Show frame
142        cv2.imshow('res',res)

```

```

123 def checkstate(self, next_node, goal):
124     # detecta la accion a tomar
125     if self.pos == [0,0]:
126         self.state = "STOP"
127     elif self.node == goal:
128         self.state = "STOP"
129     elif self.node == "1":
130         if next_node == "2":
131             self.state = "GO"
132         elif next_node == "8":
133             self.state = "DER"
134     elif self.node == "2":
135         if next_node == "1":
136             self.state = "ATRAS"
137         elif next_node == "7":
138             self.state = "DER"
139         elif next_node == "3":
140             self.state = "GO"
141     elif self.node == "3":
142         if next_node == "2":
143             self.state = "ATRAS"
144         elif next_node == "6":
145             self.state = "DER"
146         elif next_node == "4":
147             self.state = "GO"
148     elif self.node == "4":
149         if next_node == "5":
150             self.state = "DER"
151         elif next_node == "3":
152             self.state = "ATRAS"
153     elif self.node == "5":
154         if next_node == "4":
155             self.state = "IZQ"
156         elif next_node == "6":
157             self.state = "ATRAS"
158         elif next_node == "12":
159             self.state = "DER"
160     elif self.node == "6":
161         if next_node == "5":
162             self.state = "GO"
163         elif next_node == "3":
164             self.state = "IZQ"
165         elif next_node == "11":
166             self.state = "DER"
167         elif next_node == "7":
168             self.state = "ATRAS"
169     elif self.node == "7":
170         if next_node == "6":
171             self.state = "GO"
172         elif next_node == "2":
173             self.state = "IZQ"
174         elif next_node == "10":
175             self.state = "DER"
176         elif next_node == "8":
177             self.state = "ATRAS"
178     elif self.node == "8":
179         if next_node == "7":
180             self.state = "GO"
181         elif next_node == "1":
182             self.state = "IZQ"
183         elif next_node == "9":
184             self.state = "DER"
185     elif self.node == "9":
186         if next_node == "10":
187             self.state = "GO"
188         elif next_node == "8":
189             self.state = "IZQ"
190     elif self.node == "10":
191         if next_node == "11":
192             self.state = "GO"
193         elif next_node == "7":
194             self.state = "IZQ"
195         elif next_node == "9":
196             self.state = "ATRAS"
197     elif self.node == "11":
198         if next_node == "12":

```

```

199         self.state = "GO"
200     elif next_node == "6":
201         self.state = "IZQ"
202     elif next_node == "10":
203         self.state = "ATRAS"
204 elif self.node == "12":
205     if next_node == "5":
206         self.state = "IZQ"
207     elif next_node == "11":
208         self.state = "ATRAS"
209
210 def send_msg(self, port):
211     # chequea la tasa de baudios
212
213     if self.state == "STOP":
214         msg = "S"
215     elif self.state == "ATRAS":
216         msg = "A"
217     elif self.state == "DER":
218         msg = "D"
219     elif self.state == "IZQ":
220         msg = "I"
221     elif self.state == "GO":
222         msg = "G"
223     else:
224         msg = "S"
225
226 # inicializa la conexion
227 if self.cond == 0:
228     # envia la se\nal de sincronizacion
229     port.write("A")
230     if port.in_waiting > 0:
231         # espera el acknowledge
232         ack = port.read()
233         print "Recibi respuesta " + ack
234         if ack == "C":
235             port.write(self.id)
236             port.write(msg)
237             print "ACK"
238             print msg
239             self.cond = 1
240         else:
241             # no se detecta el acknowledge
242             print "no conectado"
243     else:
244         # envia el mensaje por la conexion inicializada
245         port.write(self.id)
246         port.write(msg)
247         port.flush()
248
249         msg_rec = port.read()
250         msg_rec2 = port.read()
251         print "conectado"
252
253         print msg_rec + msg_rec2

```

## World.py

```

1 from robot import robot
2 from SimpleGraph import SimpleGraph
3 from PriorityQueue import PriorityQueue
4 from Grid import Grid
5
6 class world(object):
7     def __init__(self):
8         # inicializa la clase de mundo
9         self.graph = SimpleGraph()
10        self.graph.edges = {'1' : ['2', '8'],
11                             '2' : ['1', '3', '7'],
12                             '3' : ['2', '4', '6'],
13                             '4' : ['3', '5'],
14                             '5' : ['4', '6', '12'],
15                             '6' : ['3', '5', '7', '11'],

```

```

16         '7' : ['2', '6', '8', '10'],
17         '8' : ['1', '7', '9'],
18         '9' : ['8', '10'],
19         '10' : ['7', '9', '11'],
20         '11' : ['6', '10', '12'],
21         '12' : ['5', '11']}
22     self.posiciones = {'1' : (1,1),
23                        '2' : (1,2),
24                        '3' : (1,3),
25                        '4' : (1,4),
26                        '5' : (2,1),
27                        '6' : (2,2),
28                        '7' : (2,3),
29                        '8' : (2,4),
30                        '9' : (3,1),
31                        '10' : (3,2),
32                        '11' : (3,3),
33                        '12' : (3,4)}
34     self.goal = '5'
35     self.start = '1'
36     self.plan = []
37
38     def getNode(self, pt):
39         # retorna el indice del nodo donde se ubica el vehiculo
40         pass
41
42     def cost(self, a, b):
43         # define una heuristica para la busqueda informada
44         (x1, y1) = a
45         (x2, y2) = b
46         return abs(x1 - x2) + abs(y1 - y2)
47
48     def a_star(self):
49         # Genera camino usando el algoritmo A*
50         frontier = PriorityQueue()
51         frontier.put(self.start, 0)
52         came_from = {}
53         cost_so_far = {}
54         came_from[self.start] = None
55         cost_so_far[self.start] = 0
56
57         # comienza la busqueda
58         while not frontier.empty():
59             current = frontier.get()
60             # termina si llega a la meta
61             if current == self.goal:
62                 break
63             # busca en sus vecinos
64             for next in self.graph.neighbors(current):
65                 new_cost = cost_so_far[current] + self.graph.cost(current, next)
66                 if next not in cost_so_far or new_cost < cost_so_far[next]:
67                     cost_so_far[next] = new_cost
68                     priority = new_cost + self.cost(self.posiciones[self.goal], self.posiciones[next])
69                     frontier.put(next, priority)
70                     came_from[next] = current
71         # ordena el plan
72         current = self.goal
73         path = [current]
74         while current != self.start:
75             current = came_from[current]
76             path.append(current)
77         # invierte el camino para empezar al inicio
78         path.reverse()
79         self.plan = path

```

## Graph.py

```

1 class SimpleGraph:
2     def __init__(self):
3         self.edges = {}
4
5     def neighbors(self, id):
6         return self.edges[id]

```

```

7
8 def cost(self, a, b):
9     return 1

```

## main.c

```

1 #include "Cpu.h"
2 #include "Events.h"
3 #include "TI1.h"
4 #include "AD1.h"
5 #include "AS1.h"
6 #include "PWM1.h"
7 #include "PWM2.h"
8 #include "PWM3.h"
9 #include "PWM4.h"
10 #include "TI2.h"
11 #include "Bit1.h"
12 #include "Bit2.h"
13 #include "Bit3.h"
14
15 #include "PE_Types.h"
16 #include "PE_Error.h"
17 #include "PE_Const.h"
18 #include "IO_Map.h"
19
20 // CONTROLADOR
21 #define KP 4 // ganancia proporcional
22 #define KI 0 // ganancia integral
23 #define INTEGRALMAX 1 // limite superior de la integral del error
24 #define INTEGRALMIN -1 // limite inferior de la integral del error
25
26 // SOME DEFINITIONS
27 #define DUTY_INLM1 400
28 #define DUTY_INLM2 400
29 #define LIMIT_VALUE_DIST 100
30 #define LIMIT_VALUE_LINE 125
31 #define LIMIT_VALUE_TURN_RIGHT 130
32 #define LIMIT_VALUE_TURN_LEFT 170
33
34 unsigned char estado = 0;
35
36 // BOBINAS
37 unsigned int bobina_1, bobina_2;
38
39 // CONTROL PWM
40 signed int error = 0, DT = 0.03, integral_error = 0; // <— ** TIENEN QUE SER FLOAT **
41 unsigned int duty_m1 = 0, duty_m2 = 0, duty_m3 = 0, duty_m4 = 0;
42 unsigned char mode = DETENER;
43 unsigned char next_mode = DETENER;
44 unsigned char cruce = INICIAR_CRUCE;
45
46 // SENSOR DE DISTANCIA
47 unsigned char distance = 0, dist_fir[5], cnt = 0;
48
49 // COMUNICACION IR
50 bool ir_flag = FALSE; // TRUE == non-zero value ; FALSE == 0
51
52 // SENAL DE CRUCE
53 unsigned char line_value = 0, line_value_fir[5], line_counter = 0;
54 bool in_line = FALSE; // TRUE == non-zero value ; FALSE == 0
55 bool turn_flag = FALSE;
56 bool change_mode = FALSE;
57
58 // TRANSMISION SERIAL
59 word snd = 0;
60 unsigned char j = 0;
61
62 void main(void){
63     for(cnt = 0; cnt < 4; cnt++){
64         dist_fir[cnt] = 0;
65     }
66     cnt = 0;
67     for(cnt = 0; cnt < 4; cnt++){

```

```

68     line_value_fir[cnt] = 0;
69 }
70 cnt = 0;
71 /** Processor Expert internal initialization. DON'T REMOVE THIS CODE!!! */
72 PE_low_level_init();
73 /** End of Processor Expert internal initialization. */
74 for (;;)
75 {
76
77     /*
78     * CICLO DE LA MAQUINA DE ESTADOS
79     * (0) DO NOTHING
80     * (1) LEE SENAL ELECTROMAGNETICA DE LAS BOBINAS
81     * (2) CONTROL PWM DE LOS MOTORES
82     * (3) LEE DISTANCIA DEL SENSOR SHARP
83     * (4) EN CASO DE DETECTAR SENAL DE CRUCE
84     * (5) TRANSMISION SERIAL PARA DEBUGGING
85     */
86
87     switch(estado){
88     case ESTAD00:
89         if((mode == DETENER) && (next_mode != DETENER)){
90             mode = ADELANTE;
91         }
92         // Hello World !
93         break;
94     case LEER_BOBINAS:
95         (void)AD1_MeasureChan(TRUE, 0x00); // REALIZA MEDICION CANAL_0
96         (void)AD1_GetChanValue16(0x00,&bobina_1); // OBTIENE VALOR BOBINA_1
97         bobina_1 = bobina_1 >> 8; // BIT SHIFTING
98         (void)AD1_MeasureChan(TRUE, 0x01); // REALIZA MEDICION CANAL_1
99         (void)AD1_GetChanValue8(0x01,&bobina_2); // OBTIENE VALOR BOBINA_2
100        bobina_2 = bobina_2 >> 8; // BIT SHIFTING
101        if(turn_flag){
102            if(mode == TURN_RIGHT){
103                if(bobina_2 > LIMIT.VALUE.TURN_RIGHT){
104                    cruce = TERMINAR_CRUCE;
105                }
106            }
107            else if(mode == TURN_LEFT){
108                if(bobina_1 > LIMIT.VALUE.TURN_LEFT){
109                    cruce = TERMINAR_CRUCE;
110                }
111            }
112        }
113        estado = CONTROL_PWM; // CHANGE STATE
114        break;
115     case CONTROL_PWM:
116         error = bobina_1 - bobina_2; // RESTA DE SENAL EN BOBINAS
117
118     PWMMODES:    if(change_mode){
119         mode = next_mode;
120         next_mode = DETENER;
121         change_mode = FALSE;
122     }
123     if(mode == ADELANTE){
124         duty_m1 = DUTY_INLM1 - (KP*error + KI*integral_error)/2;
125         duty_m2 = 0;
126         duty_m3 = DUTY_INLM2 + (KP*error + KI*integral_error)/2;
127         duty_m4 = 0;
128     }
129
130     if (mode == REVERSA) {
131         duty_m1 = 0;
132         duty_m2 = DUTY_INLM1 + (KP*error + KI*integral_error)/2;
133         duty_m3 = 0;
134         duty_m4 = DUTY_INLM2 - (KP*error + KI*integral_error)/2;
135     }
136
137     if (mode == TURN_RIGHT) {
138         switch(cruce){
139         case INICIAR_CRUCE:
140             turn_flag = TRUE;
141             duty_m1 = DUTY_INLM1;
142             duty_m2 = 0;
143             duty_m3 = 0;

```



```

144         duty_m4 = 0;
145         cruce = CRUZANDO;
146         break;
147     case CRUZANDO:
148         // do nothing
149         break;
150     case TERMINAR_CRUCE:
151         turn_flag = FALSE;
152         mode = ADELANTE;
153         cruce = INICIAR_CRUCE;
154         goto PWMMODES;
155         break;
156     }
157 }
158
159 if (mode == TURN_LEFT) {
160     switch (cruce) {
161     case INICIAR_CRUCE:
162         turn_flag = TRUE;
163         duty_m1 = 0;
164         duty_m2 = 0;
165         duty_m3 = DUTY_INLM2;
166         duty_m4 = 0;
167         cruce = CRUZANDO;
168         break;
169     case CRUZANDO:
170         // do nothing
171         break;
172     case TERMINAR_CRUCE:
173         turn_flag = FALSE;
174         mode = ADELANTE;
175         cruce = INICIAR_CRUCE;
176         goto PWMMODES;
177         break;
178     }
179 }
180
181 if (mode == DETENER) {
182     duty_m1 = 0;
183     duty_m2 = 0;
184     duty_m3 = 0;
185     duty_m4 = 0;
186 }
187
188 (void) PWM1_SetDutyUS(duty_m1);
189 (void) PWM2_SetDutyUS(duty_m2);
190 (void) PWM3_SetDutyUS(duty_m3);
191 (void) PWM4_SetDutyUS(duty_m4);
192 estado = LEER_DISTANCIA; // CHANGE STATE
193 break;
194 case LEER_DISTANCIA:
195 if (!turn_flag) {
196     while (cnt < 4) { // MOVING AVERAGE FILTER
197         (void) AD1_MeasureChan(TRUE, 0x02);
198         (void) AD1_GetChanValue8(0x02, &distance); // DISTANCE ACQUISITION
199         dist_fir[cnt] = distance;
200         if (cnt == 3) { // AVERAGE VALUE OF 4 MEASURES
201             distance = (dist_fir[0] + dist_fir[1] + dist_fir[2] + dist_fir[3]) / 4;
202         }
203         cnt++; // SE AUMENTA EL CONTADOR
204     }
205     if ((distance > LIMIT_VALUE_DIST) && (mode == ADELANTE)) {
206         mode = REVERSA; // OBJECT DETECTED ! STOP VEHICLE AND WAIT
207     }
208     cnt = 0; // SE REINICIA EL CONTADOR
209 }
210 estado = SENAL_CRUCE; // CHANGE STATE
211 break;
212 case SENAL_CRUCE:
213 if (!turn_flag) {
214     while (cnt < 4) { // MOVING AVERAGE FILTER
215         (void) AD1_MeasureChan(TRUE, 0x03);
216         (void) AD1_GetChanValue8(0x03, &line_value); // DISTANCE ACQUISITION
217         line_value_fir[cnt] = line_value;
218         if (cnt == 3) { // AVERAGE VALUE OF 4 MEASURES
219             line_value = (line_value_fir[0] + line_value_fir[1] + line_value_fir[2] +

```

```

220     line_value_fir[3])/4;
221     }
222     cnt++; // SE AUMENTA EL CONTADOR
223 }
224 cnt = 0; // SE REINICIA EL CONTADOR
225 if(line_value > LIMIT_VALUE_LINE){
226     if(!in_line){
227         in_line = TRUE;
228         if(mode == REVERSA){
229             line_counter = 0;
230             change_mode = TRUE;
231             //goto PWMMODES;
232         }
233         else if((mode == ADELANTE) && (line_counter == 1)){
234             line_counter = 0;
235             change_mode = TRUE;
236             //goto PWMMODES;
237         }
238         else{
239             line_counter++;
240         }
241     } else{
242         in_line = FALSE;
243     }
244 }
245 estado = TRANSMISION_SERIAL; // CHANGE STATE
246 break;
247 case TRANSMISION_SERIAL:
248     snd = 0; // VARIABLE AUXILIAR
249     /*(void)AS1_SendBlock(&bobina_1,2,&snd); // VALOR BOBINA #1
250     snd = 0;
251     (void)AS1_SendBlock(&bobina_2,2,&snd); // VALOR BOBINA #2
252     snd = 0;
253     (void)AS1_SendBlock(&error,2,&snd); // VALOR DUTY CYCLE (us)
254     snd = 0;*/
255     (void)AS1_SendBlock(&duty_m1,2, &snd); // VALOR DUTY CYCLE (us)
256     snd = 0;
257     (void)AS1_SendBlock(&duty_m2,2, &snd); // VALOR DUTY CYCLE (us)
258     snd = 0;
259     (void)AS1_SendBlock(&duty_m3,2, &snd); // VALOR DUTY CYCLE (us)
260     snd = 0;
261     (void)AS1_SendBlock(&duty_m4,2, &snd); // VALOR DUTY CYCLE (us)
262     estado = ESTADO0; // CHANGE STATE
263     break;
264 default :
265     break;
266 }
267 }
268 #ifdef PEX_RTOS_START
269     PEX_RTOS_START(); // Startup of the selected RTOS. Macro is defined by
270     the RTOS component. */
271 #endif
272 }

```

## events.c

```

1  #include "Cpu.h"
2  #include "Events.h"
3
4  extern unsigned char estado; // variable de la maquina de estados
5  extern unsigned char next_mode;
6  unsigned char contador = 0;
7  bool msg[5];
8  bool aux;
9  bool aux1;
10
11 /*
12 ** =====
13 **      Event      :   TI1_OnInterrupt (module Events)
14 **
15 **      Component   :   TI1 [TimerInt]
16 **      Description :

```

```

17  **      When a timer interrupt occurs this event is called (only
18  **      when the component is enabled - <Enable> and the events are
19  **      enabled - <EnableEvent>). This event is enabled only if a
20  **      <interrupt service/event> is enabled.
21  **      Parameters   : None
22  **      Returns      : Nothing
23  **
24  */
25 void TI1_OnInterrupt(void) {
26     if (estado == ESTADO0) {
27         estado = estado++;
28     }
29 }
30
31 /*
32 **
33 **      Event          : TI2_OnInterrupt (module Events)
34 **
35 **      Component     : TI2 [TimerInt]
36 **      Description   :
37 **          When a timer interrupt occurs this event is called (only
38 **          when the component is enabled - <Enable> and the events are
39 **          enabled - <EnableEvent>). This event is enabled only if a
40 **          <interrupt service/event> is enabled.
41 **      Parameters   : None
42 **      Returns      : Nothing
43 **
44 */
45 void TI2_OnInterrupt(void) {
46     aux1 = Bit1_GetVal();
47     aux = aux1;
48     aux1=0;
49     //
50     if ((contador == 0) && (aux)){
51         contador = 1;
52     } else {
53         if ((contador == 1) && (!aux)){
54             contador = 2;
55         } else {
56             if ((contador == 2) && (!aux)){
57                 contador = 3;
58             } else {
59                 if (contador < 3){
60                     contador = 0;
61                 } else {
62                     if ((contador > 2) && (contador < 8)) {
63                         msg[contador - 3] = aux;
64                         contador++;
65                     }
66                 }
67             }
68         }
69     }
70
71     if (contador == 8) {
72         Bit3_NegVal();
73         if ((!msg[0]) && (msg[1]) && (msg[2]) && (msg[3]) && (msg[4])) {
74             next_mode = ADELANTE;
75             Bit2_NegVal();
76         }
77         if ((msg[0]) && (!msg[1]) && (msg[2]) && (msg[3]) && (msg[4])) {
78             next_mode = DETENER;
79             Bit2_NegVal();
80         }
81         if ((msg[0]) && (msg[1]) && (!msg[2]) && (msg[3]) && (msg[4])) {
82             next_mode = TURNLEFT;
83             Bit2_NegVal();
84         }
85         if ((msg[0]) && (msg[1]) && (msg[2]) && (!msg[3]) && (msg[4])) {
86             next_mode = TURNRIGHT;
87             Bit2_NegVal();
88         }
89         if ((msg[0]) && (msg[1]) && (msg[2]) && (msg[3]) && (!msg[4])) {
90             next_mode = REVERSA;
91             Bit2_NegVal();
92         }

```

```

93     msg[0] = FALSE;
94     msg[1] = FALSE;
95     msg[2] = FALSE;
96     msg[3] = FALSE;
97     msg[4] = FALSE;
98     contador = 0;
99 }
100 }
101 }

```

## events.h

```

1  #ifndef __Events_H
2  #define __Events_H
3  /* MODULE Events */
4
5  #include "PE_Types.h"
6  #include "PE_Error.h"
7  #include "PE_Const.h"
8  #include "IO_Map.h"
9  #include "PE_Timer.h"
10 #include "TI1.h"
11 #include "AD1.h"
12 #include "AS1.h"
13 #include "PWM1.h"
14 #include "PWM2.h"
15 #include "PWM3.h"
16 #include "PWM4.h"
17 #include "TI2.h"
18 #include "Bit1.h"
19 #include "Bit2.h"
20 #include "Bit3.h"
21
22 // ESTADOS
23 #define ESTADO0 0
24 #define LEER_BOBINAS 1
25 #define CONTROLPWM 2
26 #define LEER_DISTANCIA 3
27 #define SENALCRUCE 4
28 #define TRANSMISION_SERIAL 5
29
30 // MODOS DEL VEHICULO
31 #define ADELANTE 1
32 #define REVERSA 2
33 #define TURN_RIGHT 3
34 #define TURN_LEFT 4
35 #define DETENER 5
36
37 // ETAPAS DEL CRUCE
38 #define INICIAR_CRUCE 1
39 #define CRUZANDO 2
40 #define TERMINAR_CRUCE 3
41
42 //unsigned char next_mode = TURN_RIGHT; // configuracion inicial
43
44 void TI1_OnInterrupt(void);
45 /*
46 ** =====
47 **      Event      :  TI1_OnInterrupt (module Events)
48 **
49 **      Component   :  TI1 [TimerInt]
50 **      Description :
51 **          When a timer interrupt occurs this event is called (only
52 **          when the component is enabled - <Enable> and the events are
53 **          enabled - <EnableEvent>). This event is enabled only if a
54 **          <interrupt service/event> is enabled.
55 **      Parameters  :  None
56 **      Returns     :  Nothing
57 ** =====
58 */
59
60 void TI2_OnInterrupt(void);
61 /*

```

```

62 **
63 **      Event      :  TI2_OnInterrupt (module Events)
64 **
65 **      Component   :  TI2 [TimerInt]
66 **      Description :
67 **          When a timer interrupt occurs this event is called (only
68 **          when the component is enabled - <Enable> and the events are
69 **          enabled - <EnableEvent>). This event is enabled only if a
70 **          <interrupt service/event> is enabled.
71 **      Parameters  :  None
72 **      Returns     :  Nothing
73 **
74 */
75
76 /* END Events */
77 #endif /* __Events_H*/

```